

# 一种手写体汉字快速细化分割算法\*

## A QUICK THINNING AND SEGMENTATION ALGORITHM FOR HAND-PRINTED CHINESE CHARACTERS

刘平

Liu Ping

(重庆大学计算机系)

**摘 要** 提出了一种基于游程编码(run length encoding)的手写体汉字细化和分割快速算法。数据的输入与处理并行,汉字图象数据所占存储空间仅为点阵方式的1/400。能将任何复杂汉字细化并分割为简单直线和弧线笔划。对汉字的结构特征抽取极为有利。此外,本文还提出一种新的边沿描述基段链码,其平均长度比 Freeman 链码短20%。

**关键词** 汉字识别;分离;平滑/边沿跟踪;链码;细化

中国图书资料分类法分类号 TP 391.4

**ABSTRACT** The paper proposes a quick thinning and segmentation algorithm for hand-printed Chinese characters going on simultaneously. The memory space occupied by the character image data is only one four hundredth of that by the normal character matrix. Any hand-printed Chinese character can be thinned and segmented into several simple lines, arc and corner strokes. It is very efficient for structural feature extraction for Chinese characters. A new chain code for edge description is also proposed, whose average chain code length is about 20% less than that of Freeman chain code.

**KEY WORDS** Chinese character recognition; Segmentating; Smoothing/Contour tracing; Chain code; Thinning

## 0 引 言

预处理通常是文字识别不可缺少的重要阶段,其处理效果直接影响特征抽取,最终影响识别精度。汉字识别预处理的主要困难是:

(1) 汉字字符点阵较大(32×32以上),存贮大量汉字的点阵数据要受到计算机可用内存空间的限制。

(2) 汉字笔划多,笔划间的交叠情况复杂。一般的细化方法较费时且易出现不可细化区以及不必要的分岔<sup>[2~3]</sup>。

(3) 汉字结构复杂,笔划的分割既困难又费时。针对上述问题,本算法使用的原始数据

\* 收文日期 90-5-3

为游程码(run length encoding)数据。它是由 G3类传真机输入的 Huffman 编码数据解码而得,数据压缩倍数约为 $10^{[6]}$ 。而且采用数据输入与处理并行的方法,任何时刻只保存当前两相邻行上的游程码,不保存整字。若字符点阵行数为80,则所占存贮空间仅为点阵方式的 $1/(10 \times 40) = 1/400$ 。

本算法利用 G3类传真机作数字化输入设备,在 IBM PC/AT 机上实现。传真机与 AT 机用一块智能接口卡连接,该卡以 Z80为 CPU,实现数据缓冲和 Huffman 码到游程码的变换,其系统硬件框图如图1所示。

传统的细化算法大多基于中轴变换以获得字符骨架,用这些算法对汉字进行细化较费时,且细化后还要进行分割。此外,这类算法大多要对字符图象进行反复跟踪和检测,在不保留整字的游程码上很难实现这类算法。

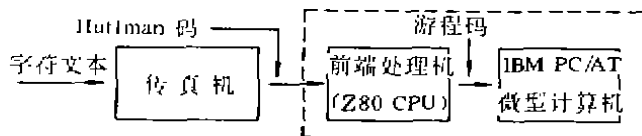


图 1

在美术汉字中,有一种带单阴影边框的字体,如:

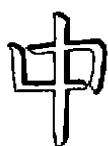


图 2(a)



图 2(b)

其中的阴影部分仍然保留了汉字的结构和笔划信息:

更重要的是它能自然地将任何汉字细化并分割为简单直线、弧线和折线笔划。在这一特有效果的启发下,本文提出一种新的细化分割算法。只要对汉字图象进行一遍扫描,便可同时完成汉字的细化和分割,并把分割点处的笔划连接关系记录在相邻表中。本算法同样适用于字母和数字符号等线图(line drawings)。

## 1 数据形式与基段链码

### 1.1 数据形式

本算法处理的汉字图象数据为游程码数据,它不是按单个象点而是以扫描线上的连续象点(游程)为单位进行编码。每个游程用它的终点坐标

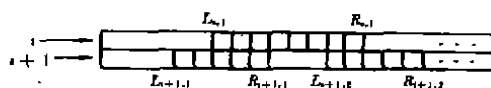


图 3

标  $R_j$  (或起点坐标  $L_j$ ) 和游长度  $W_j$  (连续象点的个数) 表示。也可以用游程的起点和终点坐标表示,即  $L_j = R_j - W_j$ 。(见图3)

图3中的游程码为:

$$(0,0)(L_{i,1}, R_{i,1}) \dots (0,0)(L_{i+1,1}, R_{i+1,1})(L_{i+1,2}, R_{i+1,2}) \dots$$

其中(0,0)为扫描线的起始标志。

### 1.2 基段链码

链码是描述图象边沿和骨架的有效手段。传统的 Freeman 链码对图象的描述是一点一

码,其方向定义如图4(a)所示.图4(b)中的链码为:1111007076601010076缩写为:1<sup>4</sup>0<sup>2</sup>7076<sup>2</sup>01010<sup>2</sup>76

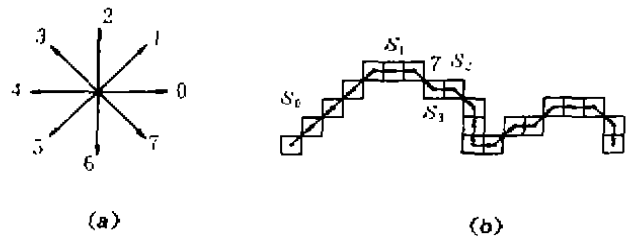


图4

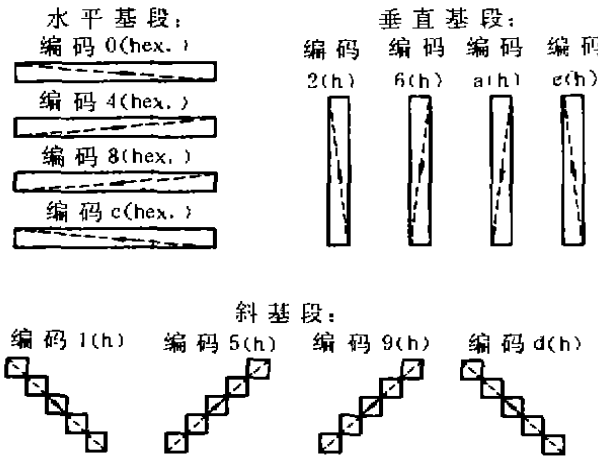


图5

在实际字符图象中,图象的边沿均由长短不一的象点段(基段)组成.基段共有三类:水平基段(如图4(b)中的 $s_1, s_2$ );垂直基段(如图4(b)中的 $s_3$ );斜基段(如图4(b)中的 $s_0$ ).Freeman链码在任意两个同类型的非斜基段间必须要有一个段间的链码,如图4(b)中的 $s_1$ 和 $s_2$ 间必须要用链码“7”来连接.

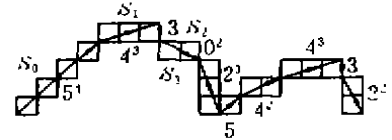


图6

为了减少链码长度,本文提出一种基于基段的链码.它以基段为单位按对角线编码,有效地减少了段间的链码,其定义和编码如图5所示.

对图4(b)中的图象边沿用基段链码表示为:5<sup>4</sup>4<sup>3</sup>0<sup>2</sup>2<sup>2</sup>5<sup>4</sup>2<sup>4</sup>3<sup>2</sup>2<sup>2</sup>见图6.

链长=10,比图4(b)的链长少3.统计结果表明在描述同一图象边沿时,基段链码平均长度比Freeman链码短20%.

## 2 单边沿跟踪与链表结构

### 2.1 单边沿跟踪

传统的边沿跟踪算法对线图的跟踪总是来回经过笔道的两边,跟踪的结果是线图的内边框(如图7所示).

这种算法比较简单,但不便于汉字的分割和汉字结构特征的抽取.

本文提出的单边沿跟踪算法只跟踪汉字笔道的一边,并在跟踪过程中进行适当的分割,它保留了汉字的结构信息,有利于结构特征的抽取(见图8).



图7

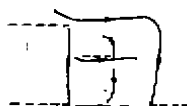


图8

算法说明：

(1) 跟踪时优先选择上边沿和右边沿。开始跟踪某笔划时，若它的上下边沿还没有明显地显露出来，则两边同时跟踪，直到能区分出上下边沿时才丢弃下边沿的跟踪结果。此后不再改变跟踪边沿。

(2) 遇交叉、分岔或转角时便进行分割(详述于后)。

(3) 由于仅使用当前两扫描行上的游程码而未保留整字，故跟踪是多字多笔划同时进行的。

(4) 在跟踪过程中按游程间的交叠情况生成链码，跟踪的结果用基段链码表示。

(5) 按字符的书写位置进行字间的分离。

在图象的游程码表示中，相邻两行游程间的交叠情况是非常复杂的，它们可以是两段交叠，一段与多段交叠，多段与多段交叠(见图9)：

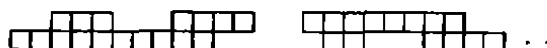
这给算法的设计带来相当大的困难，要一次考虑到两行间所有相交叠游程的各种组合情况是不太可能的。但若每次只考虑两段间的交叠，则所有交叠情况仅有4种(见图10)：

在上述每一种情况下再分别考虑它们与其它段的交叠情况。按左右不相交，左相交，右相交和左右相交4种情况，共 $4 \times 4 = 16$ 种交叠情况。用这16种交叠情况便可穷尽游程间所有交叠的组合。

两段交叠：



一段与多段交叠：



多段与多段交叠：

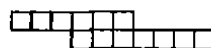


图9

情况1：



情况2：



情况3：



情况4：



图10

2.2 链表结构

在边沿跟踪过程中不断对边沿进行编码(挂链)，跟踪完毕便得到若干基段码链，其格式如下：

$$\overbrace{N_1 N_2 \dots N_m}^{\text{相邻表}} - X_0 - Y_0 \overbrace{C_1 C_2 \dots C_i}^{\text{链码域}} X_i Y_i b$$

其中： $N_j (1 \leq j \leq m)$ 是与本链 $l$ 相连的链的编号。

·  $-X_0 - Y_0$ 是本链 $l$ 起点坐标的负值，它兼作相邻表与链码域的分隔符。

·  $C_k (1 \leq k \leq i)$ 是第 $k$ 个链码，且 $C_k = D_k \times 4096 + W_k$ ， $D_k$ 是 $C_k$ 的基段码元(4比特)，

$w_i$  是  $C_i$  的基段长度(12 比特)。

- $X, Y_i$  是本链  $l$  的终点坐标。
- $b$  是链尾分割标志,  $b = 1$  表示链尾有分割,  $b = 0$  表示链尾自然结束。
- $head(l), end(l)$  分别是链  $l$  的链首和链尾指针。

### 3 细化与分割

由于采用保留字符图象单边沿的方法,因而细化是单边沿跟踪的结果。它不是传统的中轴变换细化,而是用单边沿轮廓代替中心骨架,这对于象文字这类线图是完全可行的。以下主要讨论有关笔划分割的问题。

本算法的分割点选定为笔划的交叉、分岔和转角处。虽然汉字笔划间的相交情况很复杂,但就相交点附近的情况而言主要有10种<sup>[9]</sup>:

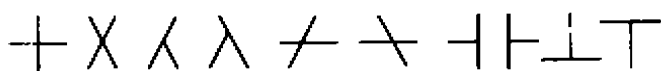


图 11

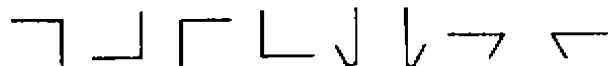


图 12



图 13

笔划转角的情况有8种(见图12)。

通过对上述笔划相交和转角情况的实际字符图象的分析,得到如下三条分割原则:

- (1) 按水平方向分割;
- (2) 在笔道宽度急剧变化处分割;
- (3) 在笔划的自然分岔处分割。

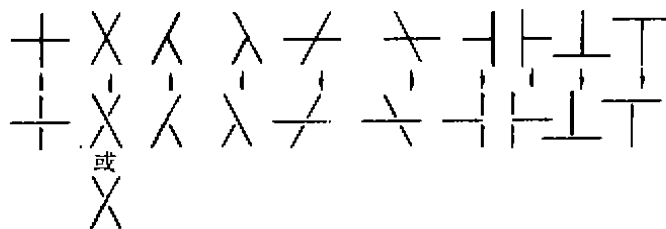


图 14

为消除算法对笔道宽度的敏感,原则(2)使用笔道宽度变化率确定是否需要分割。当两行上的相邻游程的长度之比  $< \frac{1}{2}$  或  $> 2$  时,便在它们之间进行分割(如图13所示)。

按这些分割原则,图11,图12中的笔划将作如下分割(见图14、图15)。

其中因书写风格不同而使交叉(见图14)和竖勾(见图15)有不唯一的分割,但由于记录了分割点处的连接关系,分割的还原体仍是唯一的。

对大量汉字(1200个)字符的处理得到了令人满意的结果。

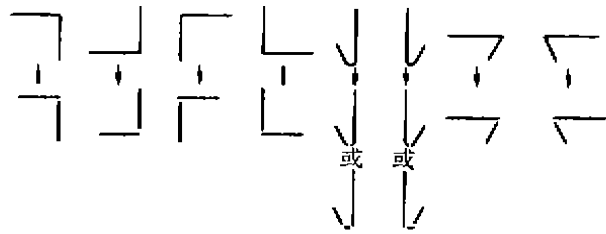


图 15

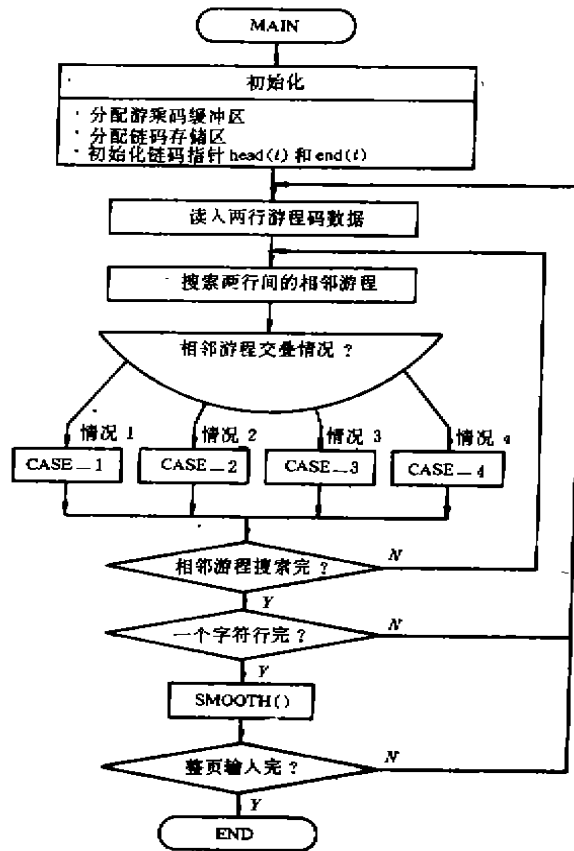


图 16

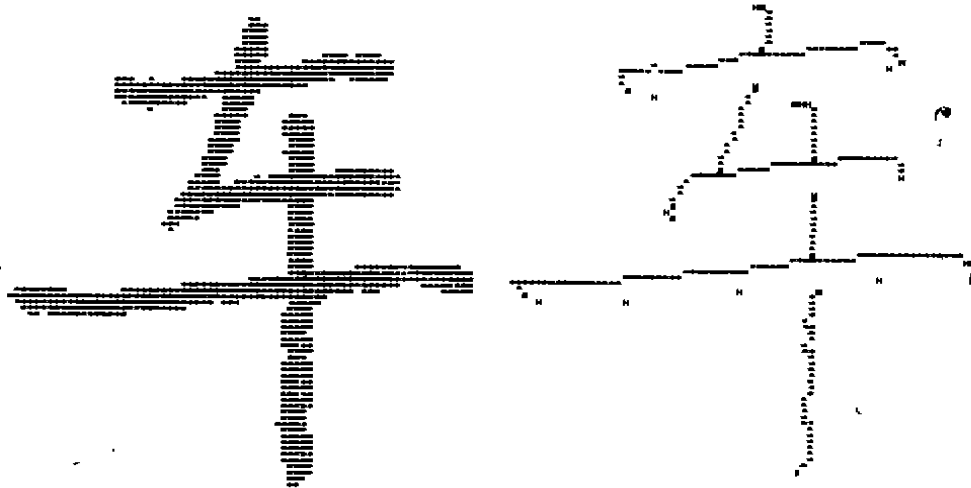
### 4 平滑处理

由于各种干扰,使输入带有噪声。本算法中的平滑模块 SMOOTH()用于处理常见的孤立噪声和边缘粗糙噪声。孤立点噪声用取笔划直径(最大长度)阈值的方法去掉,边缘粗糙噪声则用将较小凸出或凹陷平滑的方法去出。本算法与传统的平滑算法的区别在于它不是搜索整个字符图象平面,而是搜索字符图象边沿的链码表,因而处理速度较快。

## 5 算法流程

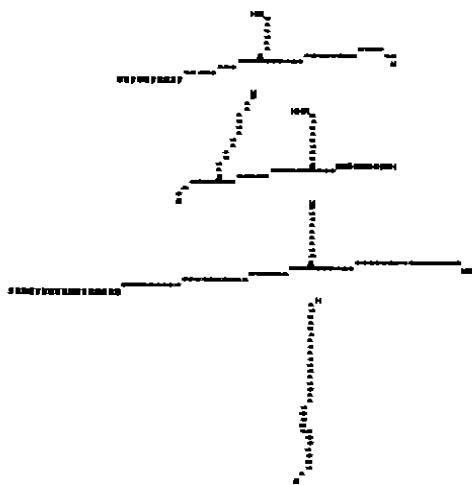
本算法由主模块 MAIN();跟踪分割模块 CASE\_1, CASE\_2, CASE\_3, CASE\_4; 和平滑模块 SMOOTH()组成。它们的调用关系如图16所示,其中的4个跟踪分割模块分别处理前述4种交叠情况(见图10)。

## 6 实验结果及分析



(a)原始图象

(b)细化分割后的图象



(c)平滑后的图象

```

chain 1's code:
6, [-193, -1], 0002, 2006, a001, a001, [194,
9], 7fff;
chain 6's code:
1, 7, [-215, -10], d001, 6001, c002, f001,
8004, 8008, 800a, 8003, 8005, 3001, c00a, 3001, [173,
13], 0;
chain 7's code:
6, 13, [-194, -14], a002, a002, a004, a002,
a002, a003, [188, 29], 7fff;
chain 9's code:
13, [-199, -17], 0003, 2009, [203, 27], 7fff;
chain 13's code:
7, 9, 14, [-215, -27], f001, 8009, 800a, 8005,
8007, 8001, a002, [182, 33], 0;
chain 14's code:
13, 20, [-203, -32], a00b, [202, 43], 7fff;
chain 20's code:
14, 22, [-227, -44], c002, f001, 8010, 800a,
8006, 800a, 8009, 8011, 1001, [158, 48], 0;
chain 22's code:
20, [-204, -48], a001, a011, a004, 0002, a006,
a001, a001, [200, 79], 0;

```

图 17

本算法用 Turbo C 编程,在 IBM PC/AT 机上的运行速度为30字/秒。图17中给出了一个典型的处理结果。其中,(a)为原始输入图象,(b)为细化分割后从基段码还原的图象,(c)为平滑处理后从基段码还原的图象。图中“H”表示链头基段;“E”表示链尾基段;“S”表示分割基段;“\*”表示一般黑象点。若某笔划被处理为一个基段,则该基段的象点全部标以“H”。图(c)由位于其下方的链码表还原而得。由于在跟踪与分割过程中不断有链的合并和删除,因而图中的链号不一定连续,每条链的结构如3.2节所述。

从图17中的处理结果可看出,细化分割后的汉字保留了原字的结构信息,复杂笔划被分割成简单笔划。笔划间的相对位置可用其链的坐标来确定,相互间的连接关系已记录在相邻表中。所有这些信息对汉字结构特征的抽取是极为有用的。

受传真机量化精度的影响,本算法要求书写的汉字不能太小(应大于 $7 \times 7 \text{mm}^2$ ),否则分割后的笔划过短而容易在去噪声时丢失。若对算法的关键部分改用汇编语言编写将会使处理速度进一步提高。

### 参 考 文 献

- 1 Xie S L, Suk Minsoo. On machine recognition of hand-printed Chinese characters by fracture relaxation. *Pattern Recognition*, 1988, 21(1): 1~7
- 2 Brown R M, Fay T H, Walker C L. Handprinted Symbol Recognition System. *Pattern Recognition*, 1988, 21(2): 91~118
- 3 Pavlids Theodosius. *Algorithms for Graphics and Image Processing*. Rockville, Computer Science Press Inc, 1982
- 4 Pavlids T. *Structural Pattern Recognition*. U. S. A, Springer-Verlay Berlin Heidelberg, 1977
- 5 Kahan Simon, Pavlids Theo, Henry S Baird. On the Recognition of Printed Characters of Any Font and Size. *IEEE Transactions on Pattern Analysis and Machine Intelligence*, March 1987, PAMI-9(2): 274~287
- 6 Cheng Fang-Hsuan, Hsu Wen-hsing, Chen Mei-ying. Recognition of Handwritten Chinese Characters by Modified Hough Transform Techniques. *IEEE Transactions on Pattern Analysis and Machine Intelligence*, April 1989, 11(4): 429~439
- 7 叶乃奉,张析中,夏莹. 汉字微型计算机与汉字识别. 北京:机械工业出版社,1989
- 8 孙仲康,沈振康. 数字图象处理及应用. 北京:国防工业出版社,1985,204~205
- 9 陈爱文,陈朱鹤. 汉字编码的理论与实践. 上海:学林出版社,1986,18~27